

台风环流内的海平百气压 廓线和阵风

福建省气象科学研究所

1979·3

564453

编者的话

汲取外国的先进经验“洋为中用”是毛泽东同志历来教导，粉碎“四人帮”以来，我省广大气象工作者掀起了学习外文的热潮，我们希望有更多的习作者能把翻译练习稿寄给我们，我们将选印部份稿件，以供同志们业务学习参考。

编者 一九七九年三月九日

台风环流内的海平面气压廓线和阵风

格里菲斯·C·Y·Wang

摘要：

台风飓风海平面气压廓线可以由台风中心气压加上一个指数函数已知乘以台风中心内外围气压差的方程来描述。为估算气旋环流内的梯度风速，将气压梯度除以导致作为气压梯度。如果对个别测站予先作出地形的订正，则，在相应的径向距离内，计算风速和阵风的误差之差大约在2.5米/秒范围内。

在台风西尔马(Thelma)和洛拉(Lola)的眼经过基隆，台北，高雄时，由微气压计测得的海平面气压廓线曲线，证实了指数方程的真实性。

于是，模式台风可以用来模拟一个实际的台风，因而，在台风临近时，可帮助气象工作者把风的预报做得更好。

一、引言

台湾是中国的一个省份，是一个热带岛屿，从气候学观点来看，除了山区地形以外，与美国的佛罗里达州相似。在台湾东面西北太平洋，或者在台湾的西南面中国的南海，发生的热带风暴和台风，经常严重地影响台湾岛。1977年7月下旬，一个星期内有两个非常强的台风，西尔马和维拉（我国编号7704号，7705号，译注），分别袭击了南部的高雄商港及机场，及北部基隆商港，台北机场，台风造成价值25亿美元的损失，成百人

死亡，两个港口，由于建筑倒塌，满地瓦砾。台风西尔马和维拉路径如图一所示。1977年7月31日世界时9:30 台风维拉眼区

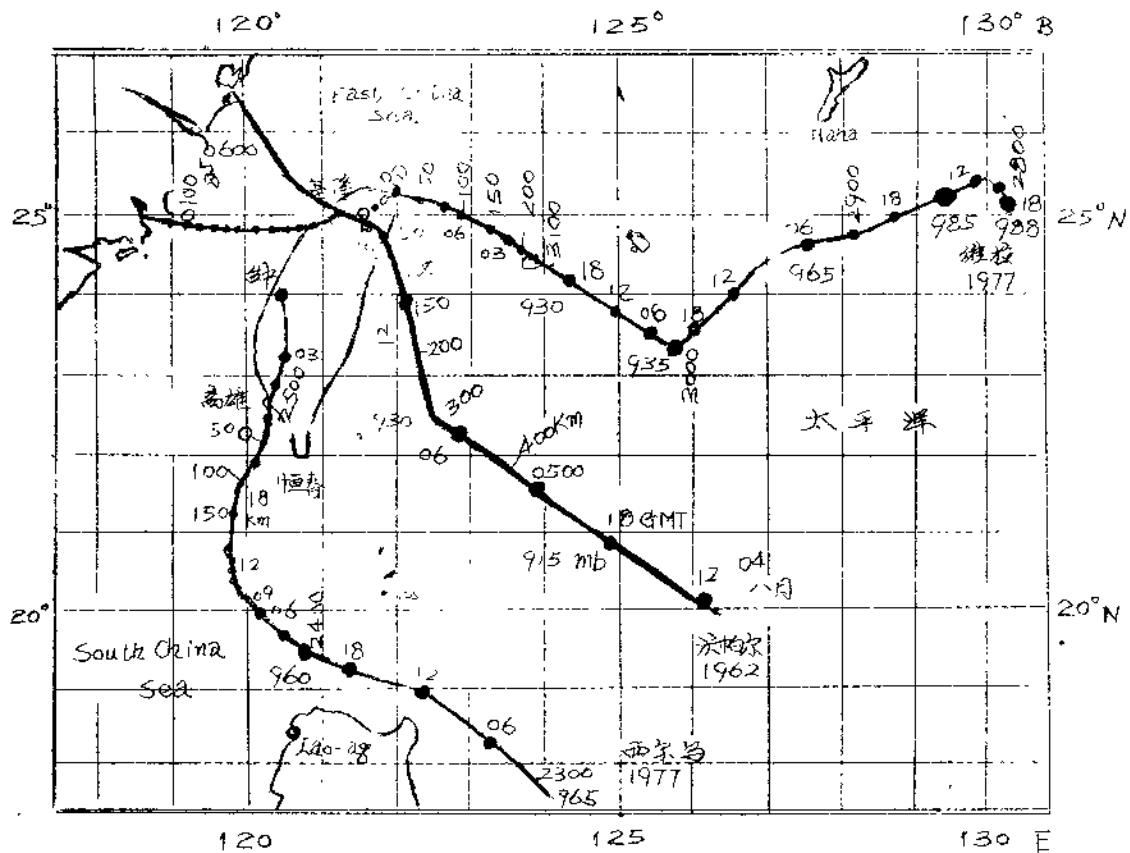


图 一

说明：台风西尔马、维拉和汉帕尔路径，（虚线表示热带风暴阶段）小圆点表示由雷达观测或飞机定时（世界时）观测，每小时台风中心位置及资料（标在0000世界时位置上）。台风中心相距测站径距用公里表示（维拉至基隆，西尔马至高雄，汉帕尔至台壮）台风中心最低气压表示在路径的相应位置上。

经过基隆，世界时10:30 台风眼又移到台北国军机场；同时，在7月25日世界时0115时，台风西尔马移到高雄机场。10分钟

后移到港口，台风西尔马和维拉海平面气压廓线轨迹如图 2-1 所示，这资料对于验证指数方程的正确性是极有用的。正如早期 Scheemer (1954) 研究指出的，此方程经常用在海岸工程上，为了设计防波堤，计算台风可能直接影响下风浪的高度和周期。为了使方程适用于预报海上或陆上台风环流内的阵风，只对方程作了较少的变动。

二. 指数方程：

上述的经验方程可以写成 $P = P_c + a \exp(-Y_0/r)$

式中的 P 表示台风半径 r 处海平气压， P_c 台风中心气压， a 是台风闭合环流外环境海平面气压(同最外闭合等压线差 1 mb)同台风中心气压的差。 r 为台风中心径距， Y_0 为台风中心到其外圆经距的 $1/6$ ，并规定在该距离附近风速降为 17 米/秒。

在这篇研究报告中，一个重要的致虑是发展一种方便方法以估计 Y_0 值。自 1954 年以来，使用得到的台风资料对这种方法的（1）已取得令人满意的結果。实际上， Y_0 是由方程 (1) 所确定的模式台风环流内的最大风速带的半径。这个带不一定同真实的一致除非从观测的最大风速精确确定。17 米/秒的风速的外圆半径 Y_0 可由陆地和船舶报告确定，半径 Y_0 经常就在海上 1000 mb 等压线附近；根据作者前面所规定的方法 Y_0 是比较容易得到的。同时，这个方程对尺度不同的台风均可使用。

三. 梯度风方程：

用一个相应于方程(1)确定的气压廓线的梯度方程， P 对 r 的导数，成为

$$\frac{dp}{dr} = \alpha r^{-2} \exp(-Y_0 Y^{-1}) \quad (2)$$

因地转风 $V_g = P^{-1} f^{-1} \frac{dp}{dr}$,

$$V_g = \alpha P^{-1} f^{-1} Y_0 r^{-2} \exp(-Y_0 Y^{-1}) \quad (3)$$

在北半球气旋性梯度风(V_{gr})与地转风(V_g)之间关系是：

$$V_{gr}^2 + f_r V_{gr} - f_r V_g = 0 \quad (4)$$

将(3)式代入(4)式得：

$$V_g^2 + f_r V_{gr} - \alpha P^{-1} Y_0 Y^{-1} \exp(-Y_0/r) = 0 \quad (5)$$

气旋性梯度风方程下给出其解：

$$V_{gr} = (\alpha P^{-1} f_r r^{-1} \exp(-Y_0 Y^{-1}) + r^2 r^2 \sin^2(\theta))^{1/2} \cdot r^{-2} \sin \theta \quad (6)$$

从方程(1)和(5)我们可以以单一实际风暴观测资料计算海平面气压廓线和模式风速梯度风。例如：台风维拉中心气压是930 mb [同1958年飓风热带(Dacoy)强度一样，阿特金森(1971)] 17米/秒风速外圆半径为200公里，台风环流外环境海平面气压为1004 mb。根据不同径向经略计算的相应海平面气压和风速，分别示于表1中1~3列。这些资料可以绘在高雄(图2)和台北(图3)两个微气压计记录纸上(虚线)。图2、图3绘出台风维拉移经高雄和台北测站时，台风维拉的海平面气压廓线和阵风风速记录(光滑实线)。如前所述，台风维拉在海上时中心气压930

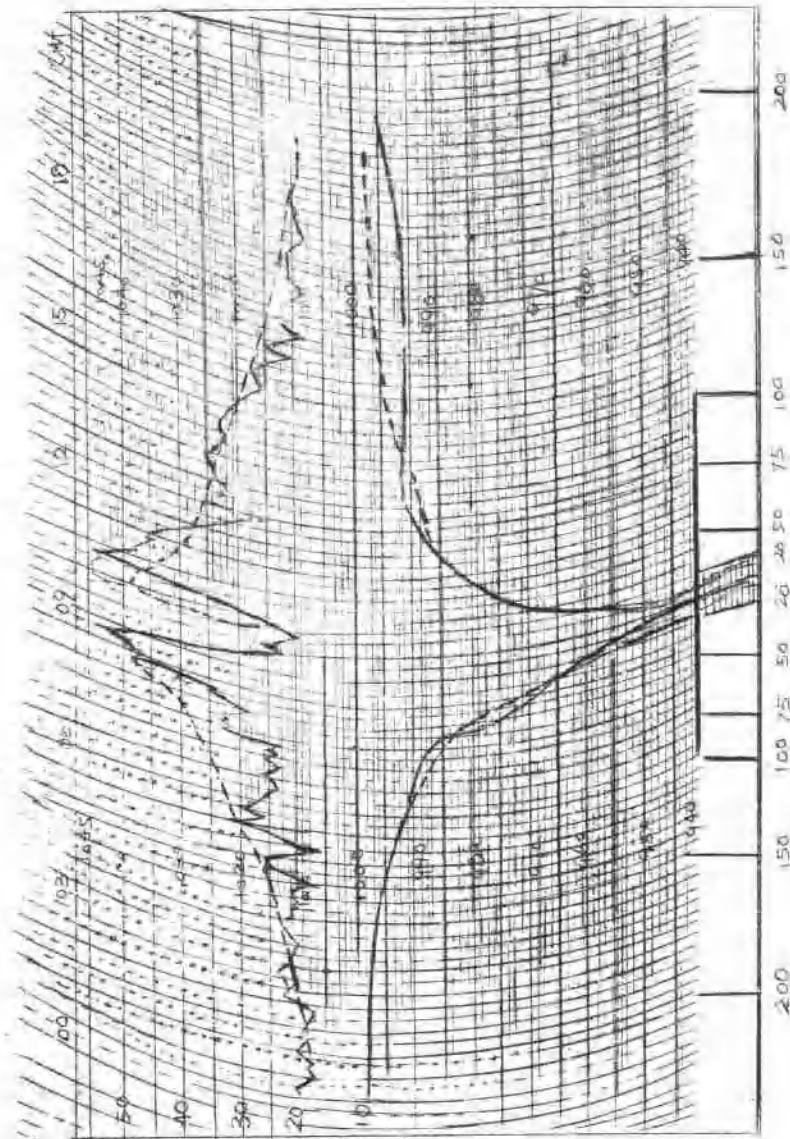
表二

Y (Km)	$\frac{P}{P_0}$	V_{gr} ($m s^{-1}$)
200	997.3	18
150	995.9	23
100	990.7	30
73	986.2	34
50	979.6	40
40	974.4	44
30	967.0	47
20	957.4	49
10	940.0	43
5	931.5	23
0	930.0	0

说明：表<1>为风锥模式，观测资料，从海平面的气压 1004 mb 中心气压 930 mb，17米/秒 阵风半径 200 公里， $R = 1004 - 930 = 74 \text{ mb}$ $r_0 = 20 \text{ 公里}$

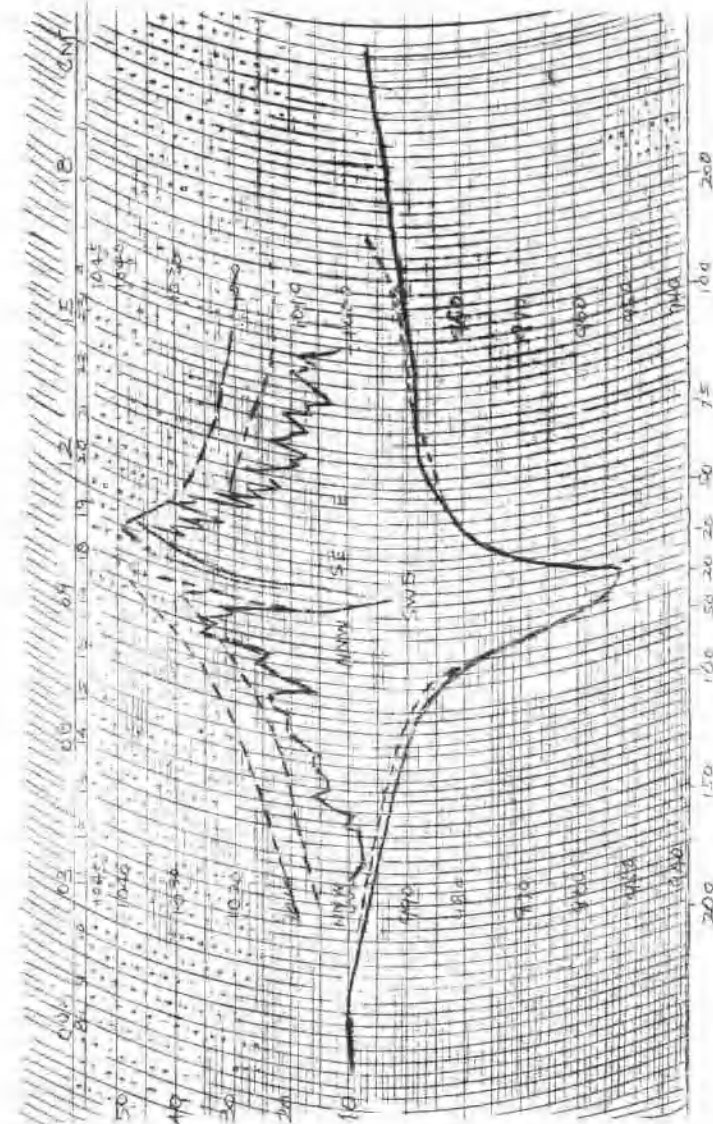
mb，然而，当袭击基隆港时台风中心气压上升到 937.4 mb，即使台风在台北（伸入陆地约 37 公里）填塞很多，但仍测到海平面气压 950.5 mb。在基隆台风眼气压廓线呈 V 型，而在台北的台风的填塞气压廓线更圆些，计算的海平面气压和记录海平面气压几乎是相等的。一些差别可以由海平面气压的半日变化说明，这些差别在台北记录（图 3）清楚地看到。在 11:00 到 16:00 一段时间内，计算值比观测值高，而在 21:00 左右计算值比观测值低，风眼经过基隆和台北后，两地处于气旋性气流的背风面，计算的海平面气压比观测的海平面气压高。

为了比较起见，图 4 和图 5 绘出了两个台风的海平面气压廓线，第一个是台风西尔马，台风西尔马在 1977 年 7 月 25 日的早晨



說明 圖 2 1977 年台風經過基隆測到海平面氣壓梯度和陣風速度，(上面部分，實線表示氣壓梯度，虛線表示風速，(泥沙曲線下) 虛線表示風速加上海面風速，計算梯度和氣壓。

說明



说明 图2、3表示由于地形影响当北风正风速
图 3

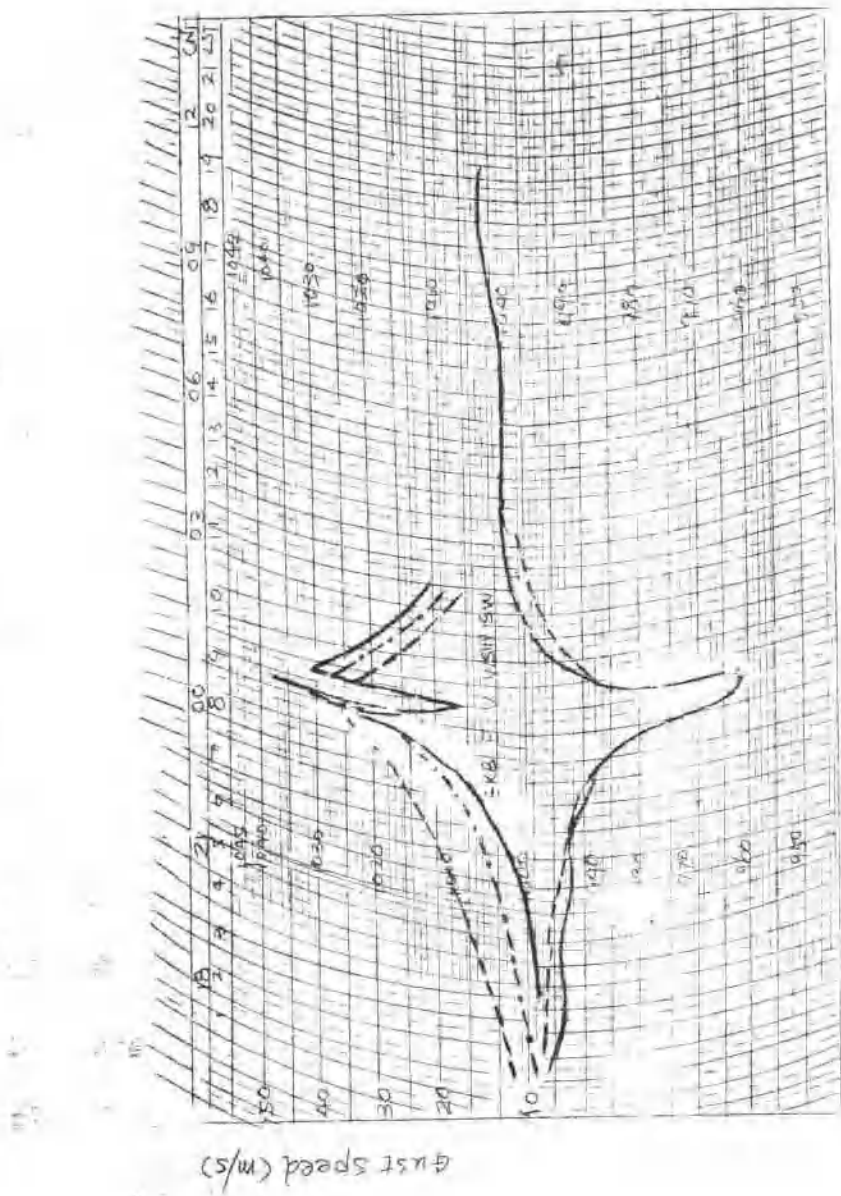


图 4

说明 1977 年当风由外向左吹时，微测表示由于地形影响而产生速

说明

袭击高雄，当时西尔马较小，但是对高雄地区工业起了很大破坏作用。使用台风西尔马观测资料如：环境海平面气压 1002mb，台风中心气压 960mb，17 米/秒风速半径 150 公里，使用相应经距所计算出的海平面气压和梯度风速由图 4 中虚线所示。

第二条是台风法帕尔 (opal) 气压廓线 (我国编号 4 号译文) 台风法帕尔约在台北正东方 40 公里 (图 1)，1962 年 8 月 5 日袭击了台湾东海岸，台风法帕尔眼区经过台北国际机场附近制造成很大破坏。使用台风法帕尔观测资料如：环境海平面气压 1006 mb，台风中心气压 930 mb，17 米/秒风速半径 400 公里。台风法帕尔同 1960 年飓风多纳 (Donne) 的强度及范围几乎一样 (米勒 1967 年) 计算的海平面气压廓线由图 3 虚线所示。有意思的是，虽然台风法帕尔和台风维拉的海平面气压最低值相同，但它们气压廓线仍有某些差别。这个差别可由台风法帕尔 17 米/秒风速半径较大这一事实说明。

指出下面一点同样也是有趣的，在 15:00 世界时，台风法帕尔袭击台湾东海岸时，其最强的风速和最低海平面气压都发生在台风登陆台北时，因山地影响，海平面气压廓线 U 型随着强度显著减弱部分消失 (图 3)。这里作者想强调一下，所求出气压廓线使用中心气压是观测的最低气压，因当时台风还在海上。

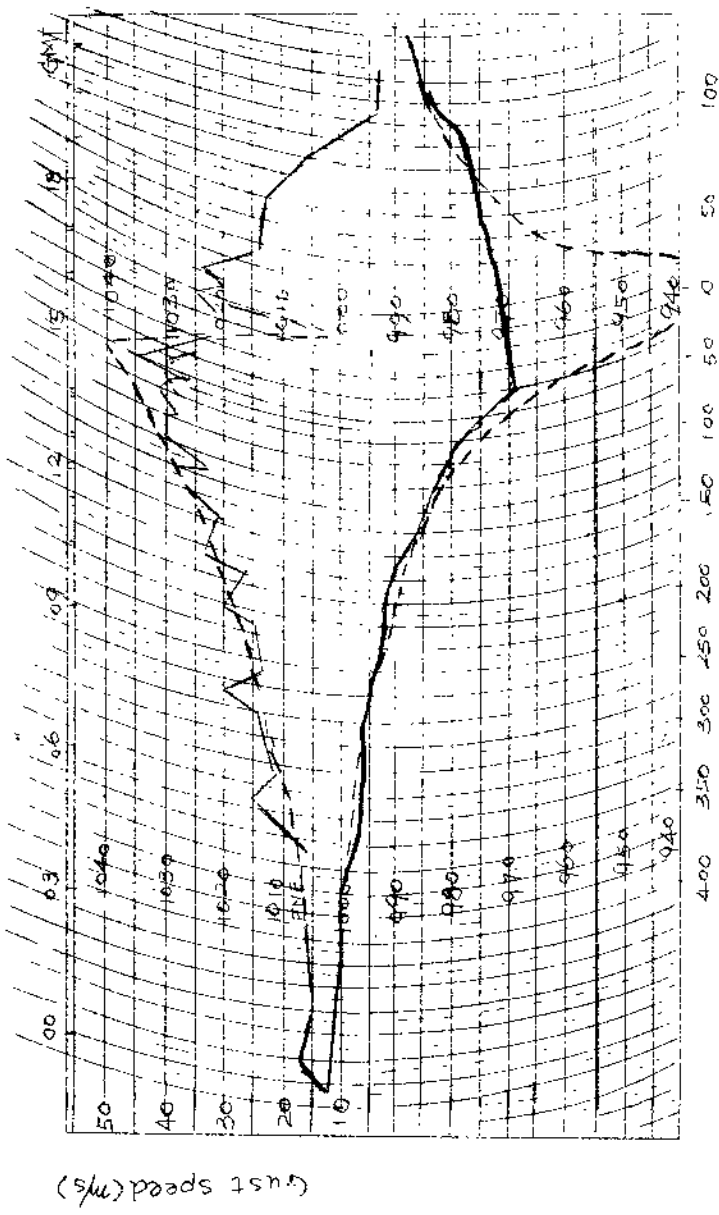
四. 阵风风速计算值的讨论：

当台风最初接近测站时，阵风在以分钟计的不规则时间内反复出现；

说明

周围4台风速测的风速值

图 5



随后则以十秒计，最后随着测站进入最大风速带阵风互相融合成持续地面风。表2列出四个无线电探空测风记录，可用此来说明在多风直接影响下，阵风和梯度风高度风速之间关系（约2000英尺以上比较平坦地形）。我们认为这是台风环流内不稳定性热带空气伴

(表二)

Altitudes (ft)	Trix 8 Aug. 1960	Opal 5 Aug. 1962	Amy 5 Sep. 1962	Gloria 10 Sep. 1963
500	300/35+53	060/18+27	040/40+59	030/32+49
1000	350/33	060/19	050/40	020/31
2000	360/50	070/24	060/62	010/48
3000	360/56	070/37	070/54	010/41
4000	360/54	070/37	070/44	030/39
5000	360/43	070/41	—	030/55
6000	360/43	—	—	030/55

说明：表2多风环流内，台北无线电测风（风向/风速厘十表示阵风十值）

随频繁阵雨数瞬间所携带动量，从梯度风高度周围大气传向地面。

当阵风通过持续的地面风（摩擦减速），例如，1960年8月8日，台风特里克斯(Trix) 告近台北国际机场，地面风向是 10° ，风速35厘/时，而阵风达53厘/时，阵风风速同2000~3000英尺平均风速非常一致。如，台风格洛里亚(Gloria) 地面阵风几乎同2000英尺高度风相同。作者认为：从方程(6)计算的 V_{gr} 可望得到离风暴中心相应距离非常一致的阵风风速，而持续风相

(表三)

Station	Computed gradient wind directions	Percentage corrections	Percentage of cases Verifying (within $17-40 \text{ m s}^{-1}$ range)
Taipei 1897-1976	NNW-NNE	-20	65
	NE-ENE	0	79
	E	-20	68
	ESE-SE	0, +20*	71
	SW, W, NW	-10	69
Keelung 1917-1976	NW-NE	0	81
	ENE	+10	85
	E-SE	0	74
	SSE-S	-30	62
	SSW	-50	68
Kaohsiung 1932-1976	SW-WNW	-30	71
	N-ENE	-30	58
	E-ESE	0	72
	SE	+10	85
	SSE-S	0	67
	SSW-WNW	+10	79
	NW-NNW	0	71

说明：表三计标阵风风速百分比纠正 值，等于 22.2 日本
等于平坦地势阵风值的 $2/3$ ，或者小岛上阵风应加上 $1/3$ 。继后，
个别测站地面风所受地形影响，根据小同仄二，上位地面风速和
梯度风高度风速比较之前，我们还须加以改正。

五. 地形的影响

就我们所知，曲折海岸，狭窄的海峡，山道和山区，是引起
风向风速发生变化的因素，如果台湾或者其他地方是完全平坦的，
计算梯度风高度风速与阵风非常一致，可是，台湾岛屿是椭圆型
(图6)，南北长 386 公里，东西最宽 140 公里，山脉走向沿着

它的东海岸（玉山最高峰 3990 米），於是东海岸地勢突起升高，而西海岸地勢平坦，从海面逐渐升高，高雄位于西部平原的南部，除了东北风外（因最高的玉山位于东北方向），其它风向均不受地形阻挡。另一方面，北部海港基隆，北面面臨大海，背面依山。因此对北面半圓气流是自由流通的，而限制了南来气流。当测站在台风直接影响下，为了使测站风的记录受到地形的影响，表 3 给出了对阵风风速的梯度风订正。虽然这些订正面对台湾的

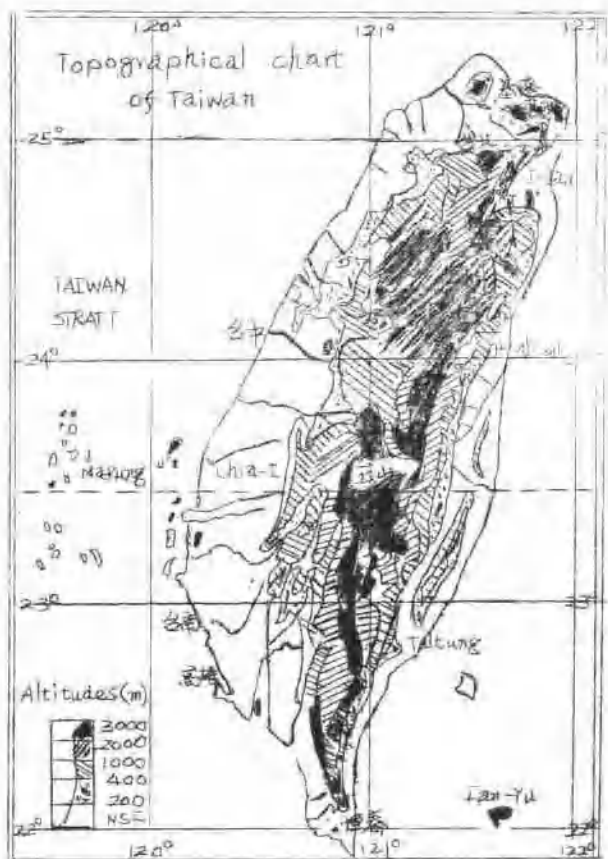


图 6

中国台湾省地形

测站已经确定，如地形相同，这些订正因子对世界其它一些测站也可使用，表 3 说明如下：

1. 风向可以由测站同台风中心联线的方位角加上 60° 得到（地面持续风向偏宜和等压线成 30° 夹角）。例如，在台风的影响下，台北位于台风中心西边 (270°)，则 333° 为台北的标准风向。
2. 使用方程 (6) 来计算不同距离 r 的风速。
3. 使用计算的风向作为参数，将观测和计算的风速画出风的玫瑰图，任何风向较大的偏差 ($\pm 20^\circ$) 认为有地影响的表现。
4. 将计算的风速作为基准，按照风速记录的偏差百分数，把风的玫瑰图分成若干部分。这种一致的偏差被用来作为风玫瑰图相应部分的订正因子。例如，如果计算风速是 25 米/秒，而观测风速是 22.5 米/秒，则偏差是 2.5 米/秒，此的订正因子是 -10% ，由于角效应或者偶然的文图里效应，订正因子可以是负值。

在图 2-5 中上部给出了记录和计算阵风风速。必要时，对计算风做了速度订正（锁链）。图 4 因当时微气压计被风暴移经测站时的骤雨所破坏，因此用观测的阵风风速代替风速资料画风的廓线。

六. 制作风予报程序：

当台风正在接近测站时，最重要的预报量是风速将达到 17 米/ 25 米/秒等等的具体时间，以及可能出现的最大破坏风力和风向。

为了提供详细资料，下面介绍风的预报程序。

1. 根据可得到的全部资料，建立模式台风，以计算表(1)所列各项。
2. 选用有影响的测站为圆心，以不同半径作嵌圆同心圆。
3. 将预报的台风路径按指定时间间隔画在同一张图上。
4. 参照表(1)，用距离圆作为参数，在相应的距离和时间下测定阵风的风速和风向。必要时，对计算的梯度风值用速度订正。

七. 台风四周非对称环流：

风暴中心周围环流是非对称的。这是计算对称梯度风和由台风移动引起风分量迭加的结果。于是，风力强度在台风路径右侧要比左侧强。一般风暴向前移动速度 ≤ 20 公里/小时，而且在离风暴中心100公里范围内，或更远处，由台风移动引起风分量可忽略不计。但是，每当台风移动而引起风分量和预报大风一致时，这些风仍添加到破坏性风力上去。例如，在图2，当台风维拉眼逼近袭击海边基隆测站时，记录到最大西北阵风为55米/秒，这时台风中心以每小时40公里速度向西南方向移动，当时基隆处于台风维拉的眼边缘前进方向上。风暴移动时对强风贡献是零。在台风眼的另一边，由于南面山脉阻挡，最大风也没有发生。直至台风眼经过测站约15分钟后，而风向由南变成东南东，这时东南东风为55米/秒，包括台风移动相对风分量6米/秒。